

■ 矩阵傅立叶光学实现紧凑型全斯托克斯偏振相机 |

Matrix Fourier optics enables a compact full-Stokes polarization camera

◆ 摘要与引入 | Abstract and Introduction

△ 摘要：

最近发展出可以使光的偏振在空间上变化的光学元件

本文提出傅里叶光学的拓展：**矩阵傅里叶光学**，用于理解这些设备，并指导设计能够实施**任意偏振并行分析**的超构表面光栅

基于此设计一种紧凑的**全斯托克斯偏振相机**，仅用单镜头，不需要传统偏振元件、移动组件、特殊图案像素，能够应用于偏振成像相关的机器学习、遥感等领域

△ 背景：

□ 偏振：(Polarization)

偏振指光的电场矢量穿过的路径

→ 传统：是光的基础属性，偏振及其测量在科学和成像技术领域引起极大兴趣

→ 现代：随着近年来在全息介质、微纳制造及其他领域的进步，使得定制的、偏振特性空间变化的、光频率下的、亚波长尺度的器件成为可能

在这些设备上，光的偏振态可以实现点对点可控变化

□ 相关工作：

衍射光学[1,2]、偏振全息[3-6]、纳米光学[7,8]、液晶光学[9,10]

这些器件依赖入射光的偏振，产生不同的行为

想法：如何设计一种器件，能**并行地实现许多偏振相关的功能**

□ 本文工作：

提出**矩阵傅立叶光学**，对此领域的工作做一个概括，并指导相关器件的设计
特别应用于**超构表面衍射光栅**的设计——能**并行分析几个任意指定的偏振态**

◆ 矩阵傅立叶光学 | Matrix Fourier Optics

提出一种分析偏振依赖衍射光栅的一般方法

△ 傅立叶光学 | Fourier Optics：

一个平面上的电磁场（光场）分布 $U(x,y)$ 可以被视为由许多不同角度入射的平面波干涉得到：

$$U(x,y) = \iint_{-\infty}^{+\infty} A(k_x, k_y) e^{-i(k_x x + k_y y)} dk_x dk_y$$

即光场的平面波展开(plane-wave expansion)或角谱(angular spectrum)

→ 这些独立的平面波以其平面内波矢标记 (k_x, k_y) ，实际上也是按平面波方向标记

→ 其权重（复振幅）由逆傅立叶变换给出：

$$A(k_x, k_y) = \iint_{-\infty}^{+\infty} U(x,y) e^{i(k_x x + k_y y)} dx dy$$

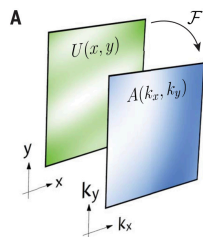
每个平面波能独立的继续向前传播，形成空间中的光场：

$$U(x,y,z) = \iint_{-\infty}^{+\infty} A(k_x, k_y) e^{-i(k_x x + k_y y)} e^{-ik_z z} dk_x dk_y$$

这样的理论可以用于分析光与一些简单的光学元件的相互作用：

对具有透过率函数 $t(x,y)$ 的平面障碍物（如杨氏双缝、衍射光栅）

考虑入射光场 E_0 （可能空间变化），则被平面障碍物作用后的光场分布为： $t(x,y)E_0$ 即： $U(x,y)$



这样的审视光的传播、与元件相互作用的视角即傅立叶光学[11]，是很多现代光学技术的基础
 →如成像、全息
 但是注意：这是标量光学理论，不包含光的偏振态——要求偏振性质不能随空间变化

△矩阵傅立叶光学 | Matrix Fourier Optics:

障碍物透过率考虑为矩阵值函数 $\tilde{J}(x, y)$ ，即局部琼斯矩阵(local Jones matrix)，能够局部调制光偏振的琼斯矢量(Jones vector) $|E_0\rangle$
 则出射光场为： $\tilde{J}(x, y)|E_0\rangle$

→傅立叶展开：

(矢量的傅立叶变换)

$$\begin{cases} \tilde{J}(x, y)|E_0\rangle = \iint_{-\infty}^{\infty} |A(k_x, k_y)\rangle e^{-i(k_x x + k_y y)} dx dy \\ |A(k_x, k_y)\rangle = \iint_{-\infty}^{\infty} \tilde{J}(x, y)|E_0\rangle e^{i(k_x x + k_y y)} d\frac{k_x}{2\pi} d\frac{k_y}{2\pi} \end{cases}$$

→对均匀场、正入射情况，琼斯矢量空间上均匀，可以提出：

(矩阵的傅立叶变换)

$$\begin{cases} \tilde{J}(x, y) = \iint_{-\infty}^{\infty} \tilde{A}(k_x, k_y) e^{-i(k_x x + k_y y)} dx dy \\ \tilde{A}(k_x, k_y) = \iint_{-\infty}^{\infty} \tilde{J}(x, y) e^{i(k_x x + k_y y)} d\frac{k_x}{2\pi} d\frac{k_y}{2\pi} \end{cases}$$

这实际上是琼斯矩阵的四个分量分别做傅立叶变换

注意：这里涉及自由度从2变成4的问题。实际上，满足矩阵运算后得到的矢量满足矢量的傅立叶变换即可，这里相当于取更强的要求：矩阵的每个分量都要满足傅立叶变换关系

→物理意义：

不仅仅是传统傅立叶光学中的振幅和相位依赖，每个给定的方向 (k_x, k_y) 将与一个影响偏振行为的琼斯矩阵算符联系起来 $\tilde{A}(k_x, k_y)$

——由此，对光场的分析将解耦为对各个平面波分量的分析

本工作：特别关注偏振衍射光栅，其透过率矩阵 $\tilde{J}(x, y)$ 为周期性函数

→角谱 $\tilde{A}(k_x, k_y)$ 离散化，形成衍射阶：

$$\begin{cases} \tilde{J}(x, y) = \iint_{-\infty}^{\infty} \tilde{A}(k_x, k_y) e^{-i(k_x x + k_y y)} dx dy \\ \tilde{A}(k_x, k_y) = \iint_{-\infty}^{\infty} \tilde{J}(x, y) e^{i(k_x x + k_y y)} d\frac{k_x}{2\pi} d\frac{k_y}{2\pi} \end{cases} \Rightarrow \begin{cases} \tilde{J}(x, y) = \sum_{\mathbf{k}} \tilde{J}_{\mathbf{k}} e^{i(\mathbf{k} \cdot \mathbf{r})} \\ \tilde{J}_{\mathbf{k}} = \iint_{-\infty}^{\infty} \tilde{J}(x, y) e^{i(\mathbf{k} \cdot \mathbf{r})} d\frac{k_x}{2\pi} d\frac{k_y}{2\pi} \end{cases}$$

→一种应用：设计多功能偏振器件

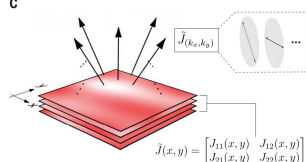
考虑一组想要同时实现的功能，需能被琼斯矩阵描述（偏振片、波片、光学活性元件……）

将他们 $\{\tilde{J}_{\mathbf{k}}\}$ 安排到不同的衍射阶，这些衍射阶属于集合 $\{\mathbf{k}\}$ ，即：

$$\tilde{J}(x, y) = \sum_{\mathbf{k} \in \mathcal{N}} \tilde{J}_{\mathbf{k}} e^{i(\mathbf{k} \cdot \mathbf{r})}$$

表明一个元件并行地实现了这些偏振相关的功能

称为矩阵衍射光栅(matrix diffraction grating)



涉及相关思想工作：

衍射光学[13,14]、偏振光线追迹[15,16]、超构表面

→在超构表面领域，通常设计思路：

①当给定偏振入射时，输出偏振态在整个元件上是均匀的，并得到标量相位函数

②当正交偏振入射时，输出偏振态再次均匀，并得到另一个标量相位函数

通过这种方式，可以实现对线、圆和任意椭圆偏振基[7,8,17]的具有不同功能的光学元件

特别是用于产生圆偏振光的标量相位函数的几何相位的方法[2,9,18-21]

→其他工作中，偏振随空间变化，但假设了特定的入射偏振态[22,23]

以上均为矩阵方法的子类

◆酉偏振光栅的偏振并行分析 | Parallel Polarization Analysis by Unitary Polarization Gratings

前文指出的理论是一般性的，但没有给出具体的函数形式，即 \tilde{J}_k 或 $\tilde{J}(x,y)$ ，以及该如何实现

△酉偏振光栅的设计：

研究光栅各衍射阶的效果为偏振分析器的情况

→这并不是最基础的偏振器件，但是和实际应用联系最紧密的：

分析偏振、将光投影到不同的偏振态（旋光等）、测量偏振[24].....

作为偏振分析器，每一阶应该满足： $\tilde{J}_k = a_k |R_k\rangle \langle R_k|$ 严格说，这里的 k 都应为 \downarrow 。此处向后从简。

理解：实际上是广义马吕斯定律的表述

入射角度：

①入射 $|R_k\rangle$ ，透过率达到最大值

②正交入射 $|R_k^\perp\rangle$ ，满足 $\langle R_k^\perp | R_k \rangle = 0$ ，透过率为0

③一般的入射偏振，透过率为与 $\langle R_k |$ 的内积，实数情况下（线偏振）为余弦值

→ Jones 向量都是归一化的

出射角度：

为偏振态 $|R_k\rangle$ ，其强度取决于入射偏振，具体为权重因子 a_k 乘以入射偏振与 $\langle R_k |$ 的内积

复标量

→对传统的偏振器件，通常有 $|R_k\rangle = \langle R_k|$

确定 \tilde{J}_k 后， $\tilde{J}(x,y)$ 便由傅立叶级数确定

推荐的实现方法是使用超构表面[25,26]，亚波长间隔的纳米光子相移器——由具有双折射能力的介电柱组成[7,8]，其局部琼斯矩阵可以良好地用线性双折射波片表示[8]：

$$\tilde{J}(x,y) = R(\theta(x,y)) \begin{pmatrix} e^{i\phi_x(x,y)} & 0 \\ 0 & e^{i\phi_y(x,y)} \end{pmatrix} R(-\theta(x,y))$$

2×2 旋光琼斯矩阵

超表面可以容易地采样实现矩阵光栅：

ϕ_x , ϕ_y 和 θ 可以通过改变电介质柱的尺寸和角度来连续调整，且易于光刻制造

局部琼斯矩阵的性质：

①酉矩阵：在所有的 (x,y) 处有： $\tilde{J}^\dagger \tilde{J} = I$

②在所有的 (x,y) 处，其特征向量为线偏振光

证：记 $\begin{pmatrix} e^{i\phi_x} & 0 \\ 0 & e^{i\phi_y} \end{pmatrix} = M$ ，易证其特征值为 $e^{i\phi_x}$, $e^{i\phi_y}$ ，对应特征向量 $\begin{pmatrix} 1 \\ 0 \end{pmatrix}$, $\begin{pmatrix} 0 \\ 1 \end{pmatrix}$ ，有： $M \eta_i = \lambda_i \eta_i$

$$\Rightarrow M R^{-1} R \eta_i = \lambda_i R^{-1} R \eta_i \Rightarrow (R M R^{-1})(R \eta_i) = (R \lambda_i R^{-1})(R \eta_i) \Rightarrow \tilde{J}(R \eta_i) = \lambda_i (R \eta_i)$$

故 \tilde{J} 特征值仍为 λ_i ，特征向量为 $R \eta_i$ （转了 θ 角），仍为线偏振。

我们目前做了两种选择：

波矢空间，也就是衍射阶，想要实现偏振分析器

坐标空间，使用线性双折射的超构表面离散采样实现

问题：对一般选取的衍射阶集合 $\{l\}$ ，具有 $\tilde{J}_k = a_k |P_k\rangle \langle q_k|$ ，其导致的 $\tilde{J}(x,y) = \sum_{k \in \{l\}} \tilde{J}_k e^{i(kx + qy)}$ 能满足上述的线性双折射的形式吗？

这个问题和之前对纯相位光栅的研究有关，在这里拓展到矩阵情况[27,28]

①坐标空间的线性双折射要求 \tilde{J}_k 必须是对称的，要求衍射阶具有此形式： $\tilde{J}_k = a_k |q_k^* \rangle \langle q_k|$

琼斯矩阵角度：分析光与出射光的偏振态应当满足共轭关系

庞加莱球角度：两个代表点关于赤道面对称

偏振椭圆角度：椭圆保持不变但旋转角度反号

斯托克斯参数角度：描述手性的第三项反号

——这也是对[7,8]的关键结论的概括

②更进一步，要求 \tilde{J}_k 还是酉的

则严格来说只有 $n=2$ 即2阶衍射，且两分析光正交时，才能严格实现

△设计策略与优化 | Design Strategy and Optimization:

总的想法：允许少量光漏到其他阶，不严格要求只有 n 阶衍射，从而实现处处酉

换句话说：光栅可以作为一个耦合系统，用相邻衍射级的补偿来实现整体的酉

现在的问题变成一个优化问题：

设计一个光栅 $\tilde{J}(x,y)$ ，满足坐标空间的要求；在选择的特定衍射阶 \tilde{J}_k 和分析光 $\langle q_k|$ 后，使得最少的光漏入其他阶

定义以分析光偏振入射后 k 阶出射光的光强： $I_k^+ = \langle q_k | \tilde{J}_k \tilde{J}_k | q_k \rangle$

定义其正交偏振入射后 k 阶出射光的光强： $I_k^- = \langle q_k^\perp | \tilde{J}_k \tilde{J}_k | q_k^\perp \rangle$ $\langle q_k^\perp | q_k \rangle = 0$

优化目标是使得 $\sum_{k \in \{l\}} I_k^+$ 达到最大值——高效性要求

同时每一阶的对比度 $\eta = (I_k^+ - I_k^-) / (I_k^+ + I_k^-)$ 应尽可能接近1——理想性要求

→以上优化可以用梯度下降方法实现，也有使用变分法得到解析解的方法[17,27,28]

以前的很多工作都尝试分离出光的偏振来分析，但是通常采用标量衍射理论，使用闪耀光栅在正交偏振态上施加相反的相位曲线。因此几个单独设计的光栅必须是交错的，或称空间复用 (spatial multiplexing)、共享孔径(shared aperture)[29-32]，或等效地级联[1,33]，从而实现对超过两个偏振态的分析。

这本身就是一个问题：这些配置无法实现少于六个测量值的偏振测量（而四个是所需的最小值），从而影响传感器空间。此外，分析仪的偏振状态不能被严格规定。

交错不同的光栅也会引入不必要的周期性，导致平面外衍射的光损失。

本工作表明，交错是不必要的——所有的函数都可以集成到一个光栅中——而且，能实现交错方法无法实现的功能。如将介绍的四面体光栅——不可能通过简单的交错来实现，因为它的四个偏振态中没有一个是与其他任何态正交。

◆ 数学阐述 | Mathematical Exposition

本节从标量衍射理论出发，详细展现研究思路的数学基础部分

△ 标量衍射光栅分束 | Beam Splitting by Scalar Diffraction Gratings:

衍射光栅是一种随空间周期性变化的障碍物，能将光分裂为有限数量的衍射级

记衍射光栅的周期性透过率函数为 $\tilde{t}(x)$ ，周期为 $d \stackrel{\text{取为}}{=} 2\pi$

单位振幅均匀平面波正入射，波长为 λ

则第 k 阶衍射阶的衍射角为： $\theta_k = \arcsin \frac{k\lambda}{d}$ ，每个衍射级的复标量权重： $a_k = \frac{1}{2\pi} \int_{-\pi}^{\pi} \tilde{t}(x) e^{-ikx} dx$

问题：如何设计光栅，使得入射平面波后，投射到特定有限衍射阶的光有相等（或其他设定）的振幅？

逆问题：如何由有限的光束组合成一个平面波？

一个平凡的例子：闪耀光栅(blazed grating)，将入射的平面波投射到一个衍射级
傅立叶光学视角下，是一个平移元件

两个同振幅出射衍射级的情况：取第0和1级衍射 $t(x) = \frac{1}{5}(1 + e^{ikx})$ 取 $kd = 2\pi \Rightarrow k = 2\pi$

此时将会输出等振幅平面波，但是在输出端，强度并不均匀： $T(x) = \tilde{t}^*(x) \tilde{t}(x) = 1 + \cos kx$

能量守恒要求： $\int_0^d T(x) dx = 1$ （得到满足）

→ 但能量不是局部守恒的，存在重新分配的问题 ($>1 / <1$)

→ 如果只存在损耗会怎样？乘以 $1/2$ 的损耗因子 $\int_0^d T(x) dx = \frac{1}{2}$

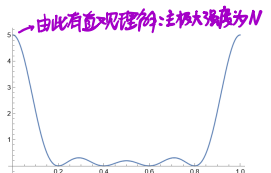
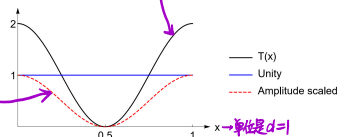
（这是因为调制局部增益比局部吸收困难很多）

→ 问题：高阶时(N)能量效率极低，只有 $\eta = \frac{1}{N}$

例： $N=5$ $t(x) = \frac{1}{5}(e^{-izkx} + e^{-ikx} + 1 + e^{ikx} + e^{izkx})$ 可再次直接得

$$T(x) = t^*(x) t(x) = \frac{1}{5}(1 + 2\cos kx + 2\cos 2kx)^2 = \frac{1}{5}(1 + 2\cos 2kx + 2\cos 4kx)^2$$

$$\text{有: } \int_0^1 T(x) dx = 1 \Rightarrow T(x) = \frac{1}{5} T(x) \Rightarrow \eta = \frac{1}{5} = \frac{1}{N}$$



△ 纯相位标量光栅分束 | Beam Splitting by Phase-only Scalar Gratings:

问题：有没有可能在没有局部增益/损耗的情况下，100%效率将光衍射到有限的衍射级？

这意味着光栅是纯相位的： $\tilde{t}(x) = e^{i\phi(x)}$ —— 这是衍射光学的重要课题[27,28,53]

可以证明[28,54]，纯相位光栅只能有1个或无穷多个衍射级，故不能解决我们的问题

证=(反证)假设衍射级在 $k=m$ 和 $k=n$ 之间， $n > m$ ， $n-m=N$ ，有： $e^{i\phi(x)} = \sum_{k=m}^n a_k e^{ikx}$

由 $e^{-i\phi(x)} e^{i\phi(x)} = 1 = \sum_{k=m}^n a_k^* \sum_{l=m}^n a_l e^{i(l-k)x}$ 右边不应为 x 的函数：

$$\begin{cases} a_m^* a_m = 0 \\ a_m^* a_{m-1} + a_{m+1}^* a_m = 0 \\ a_m^* a_{m-2} + a_{m+1}^* a_{m-1} + a_{m+2}^* a_m = 0 \\ \vdots \\ a_m^* a_{m+1} + a_{m+1}^* a_{m+2} + \dots + a_{n-1}^* a_n = 0 \\ a_m^* a_n + a_{m+1}^* a_{n+1} + \dots + a_n^* a_n = \sum_{k=m}^n |a_k|^2 = 1 \\ \vdots \\ a_n^* a_m = 0 \end{cases} \quad \left. \begin{array}{l} \text{至少一个} \\ \text{不为零} \end{array} \right\} \text{矛盾, 不成立}$$

⇒ 约束条件:

$$\begin{cases} a_m^* a_n = 0 \\ a_m^* a_{n-1} + a_{m+1}^* a_n = 0 \\ a_m^* a_{n-2} + a_{m+1}^* a_{n-1} + a_{m+2}^* a_n = 0 \\ \vdots \\ a_m^* a_{n-m+1} + a_{m+1}^* a_{n-m+2} + \dots + a_{m+m-1}^* a_n = 0 \leftarrow \text{最近邻} \\ a_m^* a_n + a_{m+1}^* a_{n-1} + \dots + a_{m+m}^* a_n = \sum_{k=m}^n |a_k|^2 = 1 \end{cases}$$

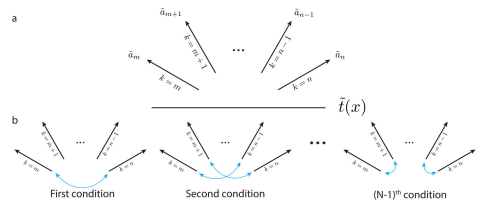
→ 能量守恒的基尔定理

共 $N+1$ 个约束方程 = 阶数

第一式要求 a_n 之一为 0, 不妨取 $|a_m|=0 \Rightarrow$ 第二式要求 $|a_{m+1}|=0 \Rightarrow \dots \Rightarrow |a_{n-1}|=0$
 则只有 $|a_n| \neq 0$

对无穷衍射级情况, 显然不受此约束, 可以实现

★这里的证明基于衍射级连续分布! 但对有限、不连续情况, 也可类似排序证明。



★其意义为各阶之间的耦合为零

△ 纯相位光栅的优化 | Optimization of Phase-only Gratings:

以上的证明表明效率不可能达到100%, 但是不代表不可以比1/N更好

对纯相位光栅, 我们允许尽可能少的光漏到其他衍射级, 能够做到尽可能优化

此问题的特殊情况三阶衍射在[53]中被解决, 而一般证明在[27,28]

优化问题: 给定一组衍射级 $\{l\}$, 找到以 d 为周期的周期函数 $\phi(x)$, 使得效率函数达到最大:

$$\eta(\phi(x)) = \frac{\sum_{k \in \{l\}} |a_k|^2}{\sum_{k=-\infty}^{\infty} |a_k|^2}$$

→ $a_k = \frac{1}{2d} \int_{-d}^d e^{i\phi(x)} e^{-ikx} dx$

限制条件是振幅因子 a_k 及由此导致的各级衍射功率, 其相对比率被给定

采用[28]的记法, 取 $|a_k| = c \gamma_k$, 其中 c 为常数, $\{\gamma_k\}$ 为给定的权重